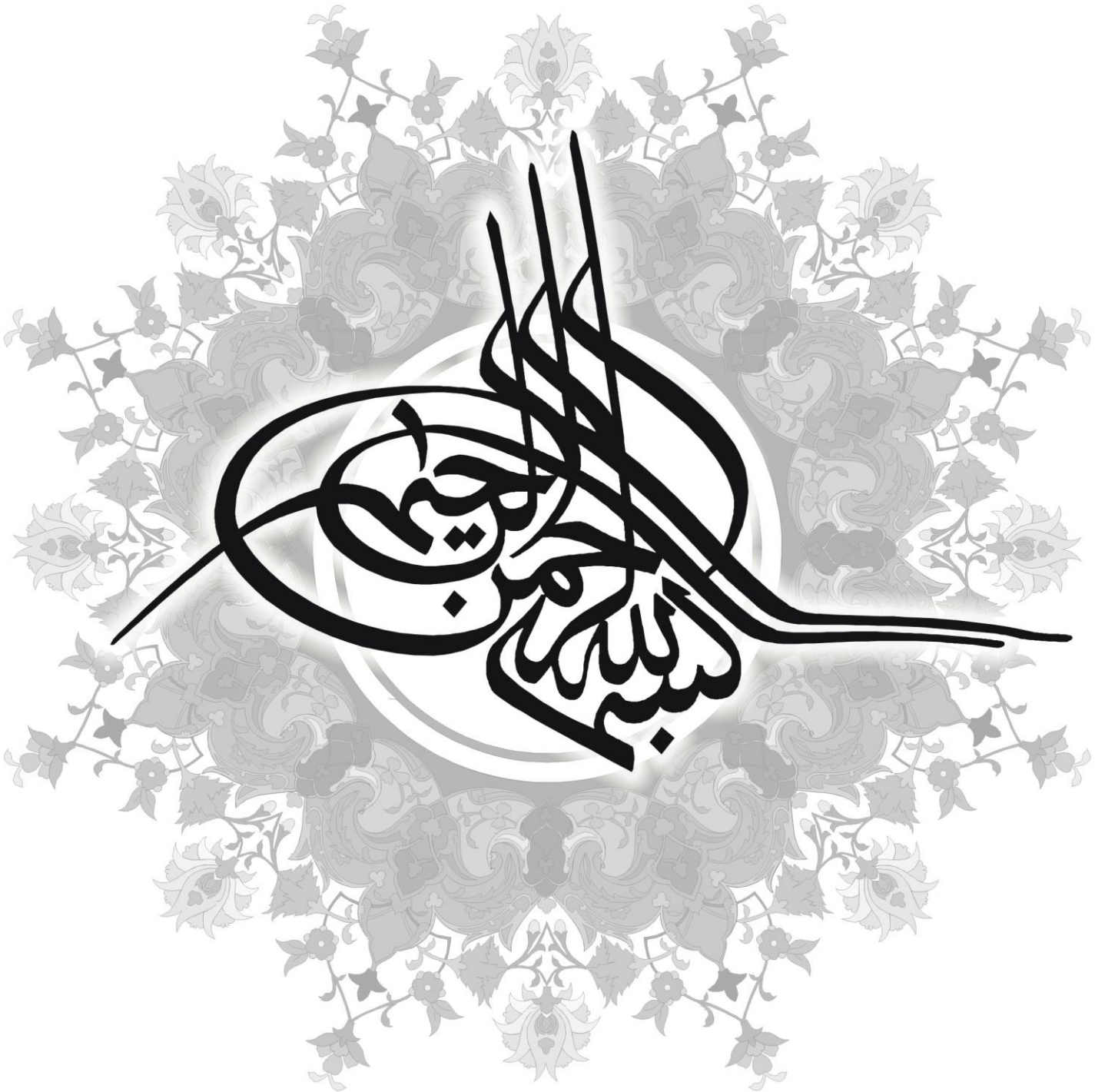


بِسْمِ اللّٰهِ الرَّحْمٰنِ الرَّحِيْمِ





دانشکده مهندسی عمران

ارزیابی سد خاکی هسته بتن آسفالتی ماشکید با تاکید بر رفتار استاتیکی هسته و پی

جواد فدایی تهرانی

پایان نامه جهت دریافت درجه کارشناسی ارشد
در رشته مهندسی عمران- خاک و پی

استاد راهنما :

دکتر حمید رضا رازقی

استاد مشاور:

دکتر علی قنبری

۱۳۸۵ اسفند ماه

چکیده:

یکی از گزینه های نسبتاً جدید در زمینه سدسازی که در چند دهه اخیر رشد چشمگیری داشته است، سدهای خاکی با هسته بتن آسفالتی است. اولین بار اروپائیان در سال ۱۹۴۸ از آسفالت در هسته سدهای خاکی استفاده نمودند. در کشور ما نیز دو سد تا کنون با این روش ساخته شده است. با گذشت زمان و تجربیات بدست آمده از ساخت اینگونه سدها قابلیت و توانایی این نوع سدها بیش از پیش مشخص شده است ولی با این حال هنوز نکات ناشناخته زیادی از رفتار این سدها در زمان ساخت و بهره برداری وجود دارد که لزوم انجام تحقیقات در این زمینه را مطرح می سازد.

در پایان نامه حاضر، به منظور بررسی رفتار سدهای خاکی با هسته بتن آسفالتی در زمان ساخت و آبگیری، به عنوان مطالعه موردی رفتار سد خاکی با هسته بتن آسفالتی ماشکید سفلی در جنوب ایران (در دست مطالعه) مورد بررسی قرار گرفته شده است. در ابتدا مروی بر مطالعات و تحقیقات در زمینه سدهای خاکی با هسته آسفالتی انجام پذیرفته است. سپس سد ماشکید سفلی در جنوب شرقی ایران معرفی گردیده است. آنالیزها در مراحل ساخت و آبگیری سد با استفاده از روش تفاضل محدود توسط نرم افزار FLAC 2D انجام پذیرفته است. مدل سازی سد بر اساس تحلیل های ۱۰ لایه ای صورت پذیرفته و در انتها نتایج آنالیز های سد ماشکید در حالت ساخت و آبگیری مورد تحلیل و بررسی قرار گرفته است. و به منظور بررسی بیشتر رفتار هسته بتن آسفالتی سد بررسی های زیر نیز انجام پذیرفته است:

- بررسی اثر تحلیل لایه ای سد بر نتایج آنالیزها
- ارزیابی اثر نواحی انتقالی در اطراف هسته سد
- ارزیابی اثر وجود آبرفت در زیر بدنه سد
- ارزیابی اثر خصوصیات هسته بتن آسفالتی
- ارزیابی اثر تراکم لایه های خاکریز بر رفتار هسته بتن آسفالتی
- مقایسه مدل رفتاری مورد استفاده در هسته بتن آسفالتی با مدل الاستیک خطی

بر اساس نتایج آنالیز دو بعدی سد ماشکید، پس از مرحله ساخت تغییر مکان افقی حداقل در هسته $6/5$ cm و نشست قائم به $4/5$ cm می رسد در حالیکه پس از آبگیری تغییر مکان افقی به $6/5$ cm رسیده و نشست قائم حداقل هسته در میانه ارتفاع افتاده و برابر 6 cm می باشد.

نتایج بررسی ها نشان می دهد که عملأً رفتار هسته بتن آسفالتی از رفتار پوسته های سد پیروی می کند. لذا در گیری بین مصالح هسته و نواحی انتقالی اطراف آن باید به خوبی برقرار باشد که این کار به جلوگیری از تغییر مکان های نامساوی کمک می کند.

فصل اول: مقدمه و کلیات

۱	- بیان موضوع و اهمیت مسئله بررسی شده
۳	- اهداف و روش تحقیق
۴	- ترتیب فصل‌ها و موضوعات بررسی شده در هر فصل

فصل دوم: مروری بر طرح، ساخت و تحقیق در مورد سدهای خاکی با هسته بتن آسفالتی

۵	- مقدمه
۸	- مروری بر روش‌های مختلف ساخت سدهای با هسته آسفالتی
۸	- ۱-۲-۲- روش BMM
۸	- ۲-۲-۲- روش CMC
۹	- ۳-۲-۲- روش CBC
۹	- ۴-۲-۲- روش DBCM
۹	- ۵-۲-۲- روش FACC
۱۰	- ۶-۲-۲- روش DACC
۱۱	- ۳-۲- ویژگی‌های هسته بتن آسفالتی
۱۲	- ۴-۲- کارایی اقتصادی بتن آسفالتی
۱۲	- ۵-۲- مقایسه بین سدهای هسته بتن آسفالتی و سدهای هسته رسی
۱۳	- ۶-۲- ویژگی‌های اکولوژیکی بتن آسفالتی
۱۳	- ۷-۲- ابعاد و موقعیت مناسب هسته و نواحی انتقالی
۱۳	- ۷-۲- هسته بتن آسفالتی
۱۵	- ۷-۲- المان انتقالی بالا دست
۱۶	- ۷-۲- المان انتقالی پایین دست
۱۶	- ۸-۲- مصالح ناحیه انتقالی
۱۸	- ۹-۲- جزئیات هسته بتن آسفالتی
۲۱	- ۱۰-۲- زهکش و فیلترهای پائین دست
۲۲	- ۱۱-۲- پوسته‌های محافظ
۲۳	- ۱۲-۲- طرح دانه بندی مصالح سنگی هسته بتن آسفالتی
۲۵	- ۱۳-۲- مشخصات مقاومتی مخلوط‌های بتن آسفالتی جهت کاربرد در سدها
۲۶	- ۱-۱۳-۲- مقاومت برشی بتن آسفالتی
۲۸	- ۱-۱-۱۳-۲- عوامل موثر بر چسبندگی آسفالت
۳۰	- ۲-۱-۱۳-۲- عوامل موثر بر اصطکاک داخلی بتن آسفالتی
۳۱	- ۲-۱۳-۲- معیار مقاومت برشی آسفالت
۳۳	- ۳-۱۳-۲- خواص ارتجاعی و الاستیسیته بتن آسفالتی

فهرست مطالب

صفحه	۱۳-۲
۳۳	- اثر کیفیت دانه ها و فیلر
۳۶	-۵- اثر مقدار قیر و لزجت آن بر مقاومت آسفالت
۴۱	-۶- مقاومت در برابر ترک خوردگی ناشی از خمین
۴۳	-۷- اثر حداکثر بعد دانه ها
۴۴	-۸- مقاومت کششی بتن آسفالتی
۴۵	-۹- آب بند بودن بتن آسفالتی
۴۸	-۱۰- وضعیت تنفس سه بعدی در هسته بتن آسفالتی
۵۲	-۱۱- مقایسه رفتار هسته های خاکی و بتن آسفالتی در برابر شکست هیدرولیکی
۵۴	-۱۲- تحلیل های لازم برای طرح هسته های بتن آسفالتی
۵۵	-۱۳- سابقه آنالیز سدهای خاکی با هسته آسفالتی
۵۵	-۱۴- سد Finstertal
۵۷	-۱۵- سدهای Grosse Dhunn
۵۹	-۱۶- سد Storvatn
۶۱	-۱۷- نتایج یک مطالعه موردنی

فصل سوم: معرفی مطالعه موردنی

۶۳	-۱- مقدمه
۶۳	-۲- موقعیت سد مورد مطالعه
۶۴	-۳- اهداف طرح
۶۵	-۴- مشخصات طرح
۶۵	-۵- هندسه سد
۶۷	-۶- مشخصات زمین شناسی و ژئوتکنیکی ساختگاه سد
۷۱	-۷- شاخص کیفیت سنگ (RQD)
۷۲	-۸- پارامترهای فیزیکی سنگ
۷۴	-۹- مقاومت تک محوری

فصل چهارم: فرضیات و مدلسازی آن

۷۵	-۱- مقدمه
۷۶	-۲- آنالیز دو بعدی یا سه بعدی
۷۸	-۳- انتخاب نرم افزار جهت انجام تحلیل ها
۷۸	-۴- مفاهیم و تئوریهای موجود در نرم افزار FLAC
۷۹	-۵- تفاضل محدود
۸۰	-۶- روش صریح
۸۳	-۷- آنالیز لاگرانژی

فهرست مطالب

۴-۴-۴- آنالیز پلاستیک.....	۸۳
۴-۵- روابط آنالیز عددی.....	۸۳
۴-۱- المان بندی.....	۸۳
۴-۲- محاسبه نرخ کرنش.....	۸۵
۴-۳- محاسبه تنش.....	۸۵
۴-۴- محاسبه نیرو، سرعت و جابجایی گره ای.....	۸۵
۴-۵- محاسبه نیروی نامتعادل گره ای:.....	۸۶
۴-۶- محاسبه هندسه اصلاح شده.....	۸۶
۴-۷- در نظر گرفتن اثر متقابل آب و فاز جامد (آنالیز تراوosh).....	۸۷
۴-۸- انواع شرایط مرزی در حالت آنالیز جربان تراوoshi.....	۸۸
۴-۹- مراحل مدلسازی و نحوه کار با نرم افزار FLAC.....	۸۹
۴-۱۰- تحلیل لایه ای سد.....	۹۱
۴-۱۱- فرآیند مدلسازی سد ماشکید.....	۹۲
۴-۱۲- تعیین هندسه مسئله، مش بندی و اختصاص مصالح به بخش های مختلف مدل.....	۹۳
۴-۱۳- شرایط مرزی و اولیه استاتیکی.....	۹۸
۴-۱۴- ایجاد تنش های اولیه.....	۹۸
۴-۱۵- انجام آنالیز مکانیکی اولیه.....	۹۹
۴-۱۶- اختصاص خصوصیات تراوoshi مسئله به بخش های مدل.....	۹۹
۴-۱۷- اعمال شرایط مرزی تراوosh.....	۱۰۰
۴-۱۸- انجام آنالیز تراوosh.....	۱۰۰
۴-۱۹- انجام آنالیز مکانیکی ثانویه.....	۱۰۰
۴-۲۰- آبگیری مخزن.....	۱۰۱
۴-۲۱- تراوosh پایدار.....	۱۰۲

فصل پنجم: نتایج تحلیل های انجام پذیرفته

۵-۱- بررسی های انجام پذیرفته.....	۱۰۴
۵-۲- بررسی اثر تحلیل لایه ای سد بر نتایج آنالیزها.....	۱۰۴
۵-۳- مقایسه نتایج با نتایج دیگر پژوهش ها.....	۱۰۶
۵-۴- بررسی تغییرات تنش و جابجایی ایجاد شده در پایان مرحله ساخت سد.....	۱۰۸
۵-۵- مقایسه نتایج حالت پایان ساخت با نتایج دیگر پژوهش ها.....	۱۱۴
۵-۶- بررسی تغییرات تنش و جابجایی ایجاد شده پس از اولین آبگیری.....	۱۱۵
۵-۷- ارزیابی اثر نواحی انتقالی در اطراف هسته سد.....	۱۲۱
۵-۸- ارزیابی اثر وجود آبرفت در زیر بدن سد.....	۱۲۳
۵-۹- ارزیابی اثر خصوصیات هسته بتن آسفالتی.....	۱۲۶

فهرست مطالب

صفحه

۸-۵- ارزیابی اثر تراکم لایه های خاکریز بر رفتار هسته بتن آسفالتی.....	۱۲۸
۹-۵- مقایسه مدل رفتاری مورد استفاده در هسته آسفالتی با مدل الاستیک خطی.....	۱۳۰

فصل ششم: جمع بندی و نتیجه گیری و ارائه پیشنهادات

۱-۶- جمع بندی و نتیجه گیری.....	۱۳۳
۲-۶- ارائه پیشنهادات.....	۱۳۴
مراجع.....	۱۳۵

فصل دوم: مروری بر طرح، ساخت و تحقیق در مورد سدهای خاکی با هسته بتن آسفالتی

..... ۱۱	شكل (۱-۲) روش Strabag در ریختن مصالح هسته
..... ۱۴	شكل (۲-۲) رابطه ضخامت المان هسته بتن آسفالتی با ارتفاع سد
..... ۱۹	شكل (۳-۲) ابعاد توصیه شده برای سه قسمت هسته بتن آسفالتی
..... ۲۰	شكل (۴-۲) نمای شماتیک اتصال آب بند هسته بتن آسفالتی با پی سد
..... ۲۰	شكل (۵-۲) نحوه آماده سازی لایه زیرین هسته و ریختن ماستیک
..... ۲۱	شكل (۶-۲) نمای شماتیک اتصال آب بند پی و پایه بتنی
..... ۲۵	شكل (۷-۲) منحنی دانه بندی فول برای دانه های بتن آسفالتی
..... ۲۵	شكل (۸-۲) منحنی دانه بندی مصالح سنگی بکار رفته در ساخت هسته آسفالتی سد Storvatin
..... ۲۸	شكل (۹-۲) اثر زبری سطح دانه های مصالح سنگی در استحکام آسفالت
..... ۲۹	شكل (۱۰-۲) اثر درجه نفوذ قیر در استحکام آسفالت
..... ۳۴	شكل (۱۱-۲) آزمایش کیفیت دانه ها، که در آن KL شامل مصالح با بالاترین کیفیت است.
..... ۳۷	شكل (۱۲-۲) درجه اتساع بر حسب مقدار قیر [7]
..... ۳۸	شكل (۱۳-۲) مقاومت مخلوطهای بتن آسفالتی مختلف تحت آزمایش سه محوری [14]
..... ۳۹	شكل (۱۴-۲) اثر درصد قیر بر رفتار تنش-کرنش در آزمایش سه محوری با فشار همه جانبی Kg/cm^2
..... ۴۰	شكل (۱۵-۲) اثر درصد قیر بر مدول الاستیسیته بتن آسفالتی
..... ۴۰	شكل (۱۶-۲) اثر درصد قیر بر مقاومت بتن آسفالتی
..... ۴۲	شكل (۱۷-۲) دستگاه خمش صفحه NGI
..... ۴۳	شكل (۱۸-۲) رفتار مخلوطهای مختلف تحت زمان
..... ۴۶	شكل (۱۹-۲) آزمایش نفوذپذیری
..... ۴۷	شكل (۲۰-۲) رابطه میزان حفرات هوا با نفوذپذیری
..... ۴۸	شكل (۲۱-۲) نفوذپذیری بتن آسفالتی در برابر آب بر حسب زمانی که نمونه تحت آزمایش است [19]
..... ۵۰	شكل (۲۲-۲) تنش های افقی با فرض $\sigma_1 = 1.5MPa$
..... ۵۰	شكل (۲۳-۲) تغییرات حجم در آزمایشهای سه محوری با $\sigma_1 = 1.5MPa$
..... ۵۲	شكل (۲۴-۲) منحنی های تنش و کرنش حاصل از آزمایش های فشاری (بر اساس جدول ۷-۲)
..... ۵۳	شكل (۲۵-۲) اندازه گیری فشار استاتیکی در مخلوط های بتن آسفالتی
..... ۵۶	شكل (۲۶-۲) مقطع سد Finstertal در استرالیا
..... ۵۷	شكل (۲۷-۲) تغییر مکانهای قائم و افقی سد Finstertal پس از آبگیری
..... ۵۸	شكل (۲۸-۲) تغییر مکان هسته و ستون عمودی در حین آبگیری و بهره برداری در سد بالادست
..... ۵۹	شكل (۲۹-۲) تغییر مکان هسته و ستون عمودی در حین آبگیری در سد اصلی
..... ۶۰	شكل (۳۰-۲) مقطع و نمایی از سد Storvatin
..... ۶۱	شكل (۳۱-۲) تغییر مکانهای قائم و افقی محاسبه شده در حالت مخزن پر (بر حسب mm)
..... ۶۱	شكل (۳۲-۲) تغییر مکانهای ثبت شده در اکتبر ۱۹۸۶

۶۲ شکل (۳-۲) مطالعه موردی بر روی یک سد با ارتفاع ۱۵۰ متری

فصل سوم: معرفی مطالعه موردی

۶۴ شکل (۱-۳) موقعیت سد مخزنی ماشکید سفلی
۶۴ شکل (۲-۳) پلان جانمایی سد مخزنی ماشکید سفلی
۶۶ شکل (۳-۳) مقطع حد اکثر سد مخزنی ماشکید سفلی
۷۰ شکل (۴-۳) پروفیل طولی و زمین شناسی محور سد

فصل چهارم: فرضیات و مدلسازی آن

۸۱ شکل (۱-۴) مراحل انجام محاسبات در FLAC
۸۴ شکل (۲-۴) تقسیم بندی یک المان چهار ضلعی
۹۰ شکل (۳-۴) فلوچارت پیشنهادی برای حل مسائل ژئوتکنیکی با FLAC و نرم افزارهای دیگر
۹۶ شکل (۴-۴) مدل تفاضل محدود سد مخزنی ماشکید سفلی
۹۷ شکل (۵-۴) ناحیه بندی قسمت های مختلف بدن سد در نرم افزار FLAC
۱۰۲ شکل (۶-۴) تاثیر آبگیری مخزن بر یک سد

فصل پنجم: نتایج تحلیل های انجام پذیرفته

۱۰۵ شکل (۱-۵) نشست های ایجاد شده در بدن سد بر اساس تحلیل های تک لایه ای تا ۱۵ لایه ای
۱۰۶ شکل (۲-۵) تنش های قائم ایجاد شده در بدن سد بر اساس تحلیل های تک لایه ای تا ۱۵ لایه ای
۱۰۷ شکل (۳-۵) پروفیل های نشست در ضمن ساخت چند سد خاکی
۱۰۹ شکل (۴-۵) توزیع تنش های قائم در پایان مرحله ساخت
۱۰۹ شکل (۵-۵) تمرکز تنش های قائم در هسته بتن آسفالتی در پایان مرحله ساخت
۱۱۰ شکل (۶-۵) توزیع تغییر مکان های قائم در پایان مرحله ساخت
۱۱۰ شکل (۷-۵) توزیع تغییر مکان های افقی در پایان مرحله ساخت
۱۱۱ شکل (۸-۵) توزیع تنش های برشی در پایان مرحله ساخت
۱۱۲ شکل (۹-۵) توزیع تنش های افقی در پایان مرحله ساخت
۱۱۳ شکل (۱۰-۵) جابجایی افقی و قائم ایجاد شده در هسته بتن آسفالتی در پایان مرحله ساخت
۱۱۳ شکل (۱۱-۵) تنش برشی و کرنش حجمی ایجاد شده در هسته بتن آسفالتی در پایان مرحله ساخت
۱۱۴ شکل (۱۲-۵) تغییر مکان نسبی بین هسته آسفالتی و شافت اصلی (سد اصلی Grosse Dhunn)
۱۱۵ شکل (۱۳-۵) توزیع تنش، تغییر مکان قائم و افقی در حالت پایان ساخت سد با ارتفاع ۱۰۵ متری
۱۱۷ شکل (۱۴-۵) توزیع فشار آب حفره ای در مرحله آبگیری
۱۱۷ شکل (۱۵-۵) توزیع تغییر مکان های افقی در مرحله آبگیری
۱۱۸ شکل (۱۶-۵) توزیع تغییر مکان های قائم در مرحله آبگیری
۱۱۸ شکل (۱۷-۵) توزیع تنش های موثر افقی در مرحله آبگیری

فهرست اشکال

صفحه

شکل (۱۸-۵) توزیع تنش های موثر قائم در مرحله آبگیری ۱۱۹
شکل (۱۹-۵) توزیع تنش های موثر برشی در مرحله آبگیری ۱۱۹
شکل (۲۰-۵) جابجایی افقی و قائم ایجاد شده در هسته بتن آسفالتی در مرحله آبگیری ۱۲۰
شکل (۲۱-۵) تنش برشی و کرنش حجمی ایجاد شده در هسته بتن آسفالتی در مرحله آبگیری ۱۲۱
شکل (۲۲-۵) اثر نواحی انتقالی بر جابجایی افقی و قائم ایجاد شده در هسته بتن آسفالتی ۱۲۲
شکل (۲۳-۵) اثر نواحی انتقالی بر تنش برشی و کرنش حجمی ایجاد شده در هسته بتن آسفالتی ۱۲۳
شکل (۲۴-۵) اثر برداشت آبرفت بر جابجایی افقی و قائم ایجاد شده در هسته بتن آسفالتی ۱۲۵
شکل (۲۵-۵) اثر برداشت آبرفت بر تنش برشی و کرنش حجمی ایجاد شده در هسته بتن آسفالتی ۱۲۵
شکل (۲۶-۵) اثر خصوصیات هسته بتن آسفالتی بر جابجایی افقی و قائم ایجاد شده ۱۲۷
شکل (۲۷-۵) اثر خصوصیات هسته بتن آسفالتی بر تنش برشی و کرنش حجمی ایجاد شده ۱۲۸
شکل (۲۸-۵) اثر تراکم لایه های خاکریز بر جابجایی افقی و قائم ایجاد شده در هسته بتن آسفالتی ۱۲۹
شکل (۲۹-۵) اثر تراکم لایه های خاکریز بر تنش برشی و کرنش حجمی ایجاد شده در هسته بتن آسفالتی ۱۳۰
شکل (۳۰-۵) جابجایی افقی و قائم ایجاد شده با استفاده از مدل رفتاری الاستیک و موهر-کولمب ۱۳۱
شکل (۳۱-۵) تنش برشی و کرنش حجمی ایجاد شده با استفاده از مدل رفتاری الاستیک و موهر-کولمب ۱۳۱
شکل (۳۲-۵) پوش گسیختگی موهر-کولمب برای مصالح هسته بتن آسفالتی سد (پاسکال) ۱۳۲

فصل دوم: مروری بر طرح، ساخت و تحقیق در مورد سدهای خاکی با هسته بتن آسفالتی

جدول (۱-۲) مشخصات تعدادی از سدهای خاکی و سنگریزه ای با هسته بتن آسفالتی.....	۶
جدول (۲-۲) مقایسه بین هسته بین آسفالتی و هسته رسی.....	۱۲
جدول (۳-۲) حداکثر اندازه دانه ها در نواحی انتقالی به تناسب ارتفاع سد.....	۱۷
جدول (۴-۲) اثر کیفیت دانه ها و درصد قیر بر مقاومت فشاری سه محوری.....	۳۵
جدول (۵-۲) ویژگی های فیزیکی نمونه های بتن آسفالتی.....	۳۹
جدول (۶-۲) نتایج آزمایش کشش غیر مستقیم.....	۴۵
جدول (۷-۲) اطلاعات آزمایشها فشاری انجام شده توسط Kjarnsli بر روی نمونه های بتن آسفالتی.....	۵۱

فصل سوم: معرفی مطالعه موردی

جدول (۱-۳): حجم عملیات ژئوتکنیک در ساختگاه سد ماشکید.....	۶۹
جدول (۲-۳): نتایج آزمایشها تعیین ویژگیهای فیزیکی سنگهای پی ساختگاه سد ماشکید سفلی	۷۲
جدول (۳-۳): نتایج آنالیز تخلخل سنگهای ساختگاه سد ماشکید.....	۷۳
جدول (۴-۳): نتایج آنالیز دانسیته طبیعی سنگهای ساختگاه سد ماشکید (g/cm ³).....	۷۳
جدول (۵-۳): نتایج آنالیز آزمایش مقاومت تراکمی تک محوری سنگهای ساختگاه سد (g/cm ²).....	۷۴
جدول (۶-۳): نتایج آنالیز مدول تغییر شکل سنگهای ساختگاه سد (g/cm ²).....	۷۴

فصل چهارم: فرضیات و مدلسازی آن

جدول (۱-۴) مشخصات هندسی چهار سد.....	۷۷
جدول (۲-۴) مقایسه روش مشتق ضمنی و مشتق صریح.....	۸۲
جدول (۳-۴) پارامترهای مکانیکی مصالح بدن سد.....	۹۵
جدول (۴-۴) پارامترهای مکانیکی مورد استفاده برای پی سد.....	۹۵

فصل پنجم: نتایج تحلیل های انجام پذیرفته

جدول (۱-۵) خصوصیات مصالح هسته بتن آسفالتی مورد استفاده در تحلیل.....	۱۲۶
--	-----

فصل اول

مقدمه و کليات

۱-۱- بیان موضوع و اهمیت مسئله بررسی شده

از نظر قدمت تاریخی، سدهای خاکی به منظور ذخیره آب برای آبیاری ساخته می‌شد. امروزه سدهای خاکی یکی از معمول ترین سدها هستند، زیرا مصالحی که در ساخت آنها بکار می‌رود از طبیعت استخراج شده و به راحتی اجرا می‌شوند. نگرش نوین به طرح مناسب این گونه سدها، از حدود ۱۹۳۰ میلادی آغاز شد. پیشرفت سریع علم مکانیک خاک، از آن زمان به بعد، باعث توسعه قابل توجه طرح و اجرای سدهای خاکی شد. در نتیجه، امروزه سدهای خاکی با ارتفاع بیش از ۳۰۰ متر نیز ساخته می‌شوند.

برای انباشتن آب پشت سد، لازم است تا یک عنصر نفوذ ناپذیر در بدنه سد تعییه گردد. این عنصر نفوذ ناپذیر می‌تواند به عنوان یک پرده داخلی (هسته) یا یک پوشش خارجی تعییه شود. هر کدام از این دو حالت، مزايا و معایب خود را دارند. تا قبل از سال ۱۹۳۰ میلادی استفاده از بتون در هسته و در چند مورد، استفاده از ورق‌های فولادی به عنوان پرده آب بند به جای هسته، رواج داشت. پس از این تاریخ، با تجربیاتی که در استفاده از هسته رسی بدست آمد، استفاده از آنها کنار گذاشته شد. به علت نفوذ ناپذیری رس و فراوانی آن در طبیعت، در اغلب موارد هسته سد از جنس رس ساخته می‌شود ولی در مواردی، مشکلات احداث سد با هسته رسی از جمله تامین رس با کیفیت مناسب، فواصل زیاد منابع قرضه تامین رس، حجم زیاد مصالح مورد نیاز، رطوبت، حساسیت مصالح رسی به تغییرات آب و هوا، پدیده کمانی شدن^۱ و رگاب^۲، محدودیت اختلاف تراز خاکریزی هسته با مناطق همچوار، نیاز به طرح و اجرای دقیق فیلتر و مسائلی از این دست که موجب کندی روند اجرای اینگونه سدها می‌گردند. متخصصان را به جایگزینی مصالح مناسب دیگر وا داشته است.

یکی از مصالح ساخت دست بشر که در مهندسی راه و ساختمان کاربرد دارد، قیر است. نفوذ ناپذیری در برابر رطوبت و آب بند بودن قیر، همواره در بسیاری از کارها چاره ساز بوده است. مخلوط مصالح سنگی و قیر که بتون آسفالتی نامیده می‌شود، می‌تواند علاوه بر داشتن مقاومت خوب، لایه مناسبی جهت جلوگیری از نفوذ آب و رطوبت باشد. این موضوع باعث شد تا کاربرد این ماده برای آب بندی سدهای خاکی مطرح شود.

^۱ - Arching

^۲ - Piping

مزایای کاربرد بتن آسفالتی در سدهای خاکی و سنگریزه ای آنرا در بسیاری موارد جایگزین مناسبی برای هسته رسی می سازد.

موضوع سد با هسته غیر رسی یکی از مباحث اصلی شانزدهمین کنفرانس کمیته بین المللی سدهای بزرگ (سانفرانسیسکو، ژانویه ۱۹۸۸) بود. در این کنفرانس پس از بررسی بیش از ۵۰ مقاله در این مورد، چنین اعلام شد: ((سدهای خاکی با پوشش آسفالتی یا بتنی یا با هسته بتن آسفالتی برای سدهای بلند بسیار مناسب می باشند.))

با مطالعه سازه های آبی ساخته شده در چندین دهه اخیر می توان دریافت که استفاده از مخلوط های آسفالتی در احداث چنین سازه هایی توسعه چشمگیری داشته است. ریشه این توسعه را می توان در خصوصیات مناسب مخلوطهای آسفالتی از قبیل انعطاف پذیری، تغییرات حجمی جزئی در اثر تغییر دمای هوا و آب، سهولت اجرا و تعمیر آنها در مقایسه با بتن سیمان پرتلند جستجو کرد. در ایران نیز با توجه به دسترسی آسان به مصالح مورد نیاز تهیه مخلوطهای آسفالتی، استفاده از این مخلوط ها بعنوان هسته، در صورت عملکرد مناسب، می تواند گزینه ایی مناسب جهت احداث سازه های آبی از نوع خاکریز باشد. با گذشت زمان و تجربیات بدست آمده از ساخت سدهای خاکی و سنگریز با هسته بتن آسفالتی، قابلیت و توانایی این نوع سدها بیش از پیش مشخص شده است ولی با این حال هنوز نکات ناشناخته زیادی از رفتار این سدها وجود دارد که لزوم انجام تحقیقات در این زمینه را مطرح می سازد.

از آنجا که کشور ما در کمربند خشک جغرافیایی و نوار بیابانی واقع شده است به منظور تامین منابع آب آشامیدنی و کشاورزی، کنترل و بهره برداری بهینه و استفاده از پتانسیل برق آبی رودخانه ها، در دو دهه اخیر صنعت سد سازی در کشور رشد روز افزونی داشته است. تا کنون در کشور ما اکثر ساختگاه های مناسب برای سدها از لحاظ دسترسی به منابع قرضه ریزدانه برای هسته سد شناخته شده است و مراحل مطالعات و طراحی بر روی این سدها انجام شده است. ولیکن در مورد ساختگاه های با مشکلات تامین رس، هزینه های اضافی تحمیلی بر پروژه مانع از بررسی بیشتر و مطالعه بر روی این ساختگاه ها گردیده است. بدین لحاظ معرفی و بررسی بیشتر رفتار گزینه های جدید سد سازی همچون سدهای خاکی با هسته بتن آسفالتی از اهمیت ویژه ای برخوردار است.

از آنجا که نیروهای وارد شده در مراحل ساخت و آبگیری این سدها از جمله بیشترین و فراوان ترین عوامل تاثیر گذار بر آنها می باشند لذا بررسی رفتار آنها پیش از احداث امری اجتناب ناپذیر به نظر می رسد. از طرف دیگر به علت توسعه روز افزون روش های آنالیز عددی و افزایش سرعت و کاهش قیمت کامپیوتراها امکان حل معادلات حاکم بر رفتار سازه ها را به طور وسیعی گسترش یافته است. تعدادی از دانشگاه ها و مؤسسات تحقیقاتی در کشورهای پیشرفته، اقدام به تهیه برنامه های کامپیوترا نموده اند که امکان تحلیل های پیچیده را در اختیار استفاده کننده قرار می دهند. لیکن تنها دسترسی به این برنامه ها برای انجام تحلیل کافی نبوده و لازم است که مبانی محاسباتی آنها به خوبی شناخته شده باشد تا بتوان نتایج بدست آمده را ارزیابی کرد.

۱-۲- اهداف و روش تحقیق

هدف از این تحقیق بررسی نشست های نامتقارن و جابجایی های افقی و قائم در پی و بدن سدهای هسته بتن آسفالتی در زمان ساخت و بهره برداری می باشد. این جابجایی ها باعث بروز تنشهای برشی در پوسته و هسته مرکزی آنها خواهد شد که احتمال آسیب دیدن سد و حتی تخریب آن را افزایش می دهد. با بررسی این تنש ها و کرنش ها، خطرات ناپایداری و ایجاد ترک در هسته مرکزی این سدها که باعث نشت بیش از حد آب از بدن سد می شود مورد بحث قرار می گیرد. در این پایان نامه پس از معرفی و ارائه خصوصیات فنی طراحی و ساخت سدهای خاکی با هسته آسفالتی سعی می شود که با استفاده از روش عددی تفاضل محدود و انتخاب مدل رفتاری مناسب برای مصالح، تغییرات تنش و کرنش استاتیکی با توجه به خصوصیات مصالح مصرفی در بدن، هسته و پی این سدها مورد بحث و بررسی قرار گیرد. و در نهایت اثرات مختلف بر روی جابجایی ها و تغییرات تنش و کرنش سد در زمان ساخت و آبگیری مورد بررسی قرار گرفته شده است.

در این پژوهه به عنوان مطالعه موردي به بررسی رفتار سد خاکی با هسته بتن آسفالتی ماشکید در استان سیستان و بلوچستان (در دست مطالعه) در حالت های زیر پرداخته می شود.

- ۱) بررسی اثر تحلیل لایه ای سد بر نتایج آنالیزها
- ۲) بررسی تغییرات تنفس و جابجایی ایجاد شده در پایان مرحله ساخت سد
- ۳) بررسی تغییرات تنفس و جابجایی ایجاد شده پس از آبگیری سد
- ۴) ارزیابی اثر نواحی انتقالی در اطراف هسته سد
- ۵) ارزیابی اثر وجود آبرفت در زیر بدنه سد
- ۶) ارزیابی اثر خصوصیات هسته بتن آسفالتی
- ۷) ارزیابی اثر تراکم لایه های خاکریز بر رفتار هسته بتن آسفالتی
- ۸) مقایسه مدل رفتاری مورد استفاده در هسته بتن آسفالتی با مدل الاستیک خطی

۱-۳- ترتیب فصل ها و موضوعات بررسی شده در هر فصل

- فصل اول: مقدمه و کلیات
- فصل دوم: مروری بر طرح و ساخت و تحقیق در مورد سدهای خاکی با هسته بتن آسفالتی
- فصل سوم: معرفی مطالعه موردی
- فصل چهارم: فرضیات و مدلسازی
- فصل پنجم: نتایج تحلیل های انجام پذیرفته
- فصل ششم: جمع بندی و نتیجه گیری و ارائه پیشنهادات

فصل دوم

مرواری بر طرح، ساخت و تحقیق

در مورد سدهای خاکی با هسته بتن آسفالتی

۱-۲ - مقدمه

تکنولوژی ساخت سد، چه در قسمت تجهیزات و ماشین آلات مخصوص سد سازی و چه در زمینه مصالح مورد نیاز برای ساخت سد، در حال متتحول شدن و گذر از یک روش سنتی به روش تکنیکی تر می باشد. سدهای خاکریز^۱ و سدهای سنگریز^۲ و به طور کلی سدهای خاکی^۳ ساخته شده با هسته مرکزی، فراگیرترین نوع سدها می باشند. امروزه ساخت سدهای خاکی و سنگریزه توسط هسته بتن آسفالتی اهمیت زیادی را در دنیا کسب نموده است.

از نظر تاریخی اولین سد با هسته متراکم قیری، در سال ۱۹۴۸ میلادی در کشور پرتغال، با نام "Vale do Gaio" ساخته شد اما این نوع هسته متراکم قیری، توسعه بیشتری نیافت[۶]. در سال ۱۹۶۲ نوعی هسته متراکم بتن قیری تهیه شد که به وسیله ماشین آلات مکانیکی، قابل ریختن بود. از آن سال تا کنون بیش از ۸۰ سد از این نوع در جهان ساخته شده است که همگی در وضعیت مناسبی قرار داشته و گزارشی از نشستهای غیرعادی در آنها ارائه نشده است. از این روش تاکنون به مقیاس وسیع استفاده شده است.

مطابق آمار موجود تا سال ۲۰۰۵ میلادی کشورهای زیر، در ساخت سدهای خاکی با هسته بتن آسفالتی پیشتاز بوده اند. آلمان ۲۷ سد چین ۲۳ سد، فرانسه ۱۰ سد، نروژ ۶ سد، اتریش ۶ سد. تحقیقات به عمل آمده در مورد ساخت سدهای خاکی با هسته بتن آسفالتی منجر به ساخت سد Storglomvatn در نروژ با ارتفاع ۱۲۸ متر در سال ۱۹۹۷ شده است.

در جدول شماره (۱-۲) مشخصات تعدادی از سدهای خاکی و سنگریز که با هسته بتن آسفالتی تا سال ۲۰۰۵ ساخته شده اند ارائه شده است[۳۲]. باید دانست که در سدهای هسته آسفالتی احداث شده، بزرگترین طول تاج مربوط به سد Mao Ping Xi (با طول تاج ۱۸۴۰ متر) در کشور چین، بلند ترین ارتفاع متعلق به سد Storglomvatn (با ارتفاع ۱۲۸ متر) در کشور نروژ و بیشترین حجم آسفالت مصرف شده مربوط به سد High Island West (با حجم ۶۳۵۰ متر مکعب) در کشور هنگ کنگ است.

^۱ - Earth Fill

^۲ - Rock Fill

^۳ - Embankment Dam

جدول شماره (۲-۱) مشخصات تعدادی از سدهای خاکی و سنگریزه ای با هسته بتن آسفالتی

Asphaltic Concrete Core Dams, 2005

Asphaltic concrete is being used increasingly for the impermeable elements in both new dams and those undergoing refurbishment. For the first time this year, we are pleased to include two Tables, listing dams with asphaltic concrete cores, and those with asphaltic linings. We gratefully acknowledge the support of Strabag of Austria/Germany and Walo Beretschinger of Switzerland in updating these Tables.

Name	Country	Height (m)	Crest (m)	Year completed	Average slope		Dam volume (10 ⁶ m ³)	Asphalt volume (m ³)	Asphalt core thickness (m)
					Upstream	Downstream			
Henne	Germany	58	376	1954/55	1:1.25/1:2.07	1:1.65/1:2	1300	4500	1
Wahlbach	Germany	13	1957	1957	1:1.7/1:2.25	1:1.65/1:7.5	30	1050	0.6-1
Kleine Dhünn	Germany	35	265	1962	1:2.0	1:2.0	350	3100	0.7/0.6/0.5
Bremge	Germany	20	125	1962	1:1.75	1:1.6/1:1.7/2	1900	8750	1
Bigge	Germany	52	1963	1964	1:2	1:2	120	8750	0.7-0.9
Eichhagen	Germany	21	475	1964	1:1.75/1:2.5	1:1.75	850	8750	0.6/0.4
Eberlaste	Austria	28	475	1968	1:2.0	1:2.0	60	850	0.4
Koedel	Germany	17	90	1969	1:1.75	1:1.75	950	2120	0.6
Poza Honda	Ecuador	28	330	1969/71	1:1.75	1:1.75	550	6250	0.6/0.6/0.4
Lézatadhi	Ethiopia	35	1969	1969	1:1.4	1:2.0	900	1420	0.5/0.4
Wichl	Germany	53	360	1971	1:1.6	1:1.6/1:2.2	90	710	0.4
Meisswinkel	Germany	22	190	1971	1:2.0	1:2.0	80	1800	0.5/0.4
Finkenrath	Germany	14	130	1972	1:2.0	1:2.0	110	1450	0.5-0.3
Wichl. Main Outer Dam	Germany	18	255	1972	1:2.0	1:2.0	145	1200	0.5-0.3
Baine	China	25	250	1973	1:1.5	1:1.5	135	540	0.15
Danghe (1)	China	58	230	1974	1:3	1:2.5	1450	1010	1.5-0.5
Eixendorf	Germany	28	150	1975	1:1.75/1:2.0	1:1.4/0/1:2.0	150	1850	0.6/0.4
Eicherscheid	Germany	18	175	1975	1:2.5	1:2.5/1:3.5	110	1450	0.4
Juliikeng	China	44	107	1977	1:1.2	1:1.2	145	1200	0.5-0.3
Guotazi	China	21	290	1977	1:2.5	1:2.5	290	1370	0.3
High Island West	Hong Kong	95	720	1977	1:1.7	1:1.7	6120	63350	1.2/0.8
Los Crisales	Spain	31	190/140	1977	1:2	1:2	400	3500	0.6
Verviers St	Belgium	6	1977	1977	1:1.5	1:1.2	100	460	0.6
Dachang	China	22	180	1978	1:1.2	1:1.2	78	460	0.3
High Island East	Hong Kong	105	420	1978	1:1.7	1:1.7	3440	34200	1.2/0.8
Antrift	Germany	18	1978	1978	1:1.75	1:1.5	2000	2000	0.5
Breitenbach	Germany	13	370	1978	1:1.75	1:1.5	3200	3200	0.6
Kamigazawa	Japan	14	170	1978	1:3.0	1:2.5	60	1150	0.6
Burn	Japan	16	173	1979	1:2.8	1:2.8	80	1000	0.6
Finsterthal	Austria	100	652	1980	1:1.5	1:1.3	4400	25000	0.7/0.6/0.5
Yangjiatai	China	15	135	1980	1:1.4	1:1.4	33	340	0.3
Megget	Scotland, UK	56	568	1980	1:1.5	1:1.5/1:2.1	2100	1350	0.7/0.6
Grosse Dhünn	Germany	63	400	1980	1:1.75	1:1.75	1400	8350	0.6
Vestreidal	Norway	32	500	1980	1:1.5	1:1.5	360	3250	0.5
P de Soulencem	France	67	1980	1980	1:1.85	1:1.3/1:1.6	480	850	0.6
Katibvan	Norway	35	265	1980	1:1.5	1:1.5	180	1800	0.5
Langawan	Norway	26	290	1981	1:1.5	1:1.5	300	2000	0.5
Erdouwan	China	30	320	1981	1:1.5	1:1.5	300	1500	0.2
Kurting	China	23	153	1981	1:1.5	1:1.4	67	390	0.2
Dhuem, Outer Dam	Germany	12	115	1981	1:3	1:2	200	600	0.5
Suby	Isle of Man, UK	36	143	1982	1:1.75	1:1.75	800	2700	0.75
Kleine Kinzig	Germany	70	345	1982	1:1.7/1:1.6	1:1.8/1:2.0	1400	10000	0.7/0.5
Biluhe (Left Dam)	China	49	288	1983	1:3.5	1:2.75	1560	7730	0.8-0.5
Biluhe (Right Dam)	China	33	113	1983	1:2	1:1.75	410	2050	0.5/0.4

ASPHALTIC CONCRETE CORE DAMS

داده جدول شماره (۲-۱) مشخصات تعدادی از سدهای خاکی و سنگریزه ای با هسته بتن آسفالتی

Name	Country	Height (m)	Crest (m)	Year completed	Average slope		Dam volume (10^6 m^3)	Asphalt volume (m^3)	Asphalt core thickness (m)
					Upstream	Downstream			
Feldbach	Germany	14	110	1984	1:2	1:3.0	74	450	0.4
Wiebach	Germany	12	98	1985	1:2.6	1:1.5	126	200	0.5
Shichigashuko	Japan	37	300	1985	1:2.6	1:3.0	450	4900	0.5
Doerpe	Germany	16	118	1986	1:2.0	1:3.0	222	710	0.6
Lennep Bach	Germany	11	93	1986	1:2.0	1:3.0	132	350	0.5
Wupper	Germany	40	280	1986	1:1.75	1:1.75	500	6200	0.6
Riskalbach	Norway	45	600	1986	1:1.5	1:1.45	1100	8000	0.5
Storvatn	Norway	100	1472	1987	1:1.5	1:1.45	9500	49000	0.8-0.5
Berdalsvatn	Norway	65	465	1988	1:1.5	1:1.45	1000	6800	0.5
Borovitsa	Bulgaria	76	218	1988	1:2.2	1:1.9	1000	7660	0.8-0.7
Rottach	Germany	38	190	1989	1:1.75	1:2.0	250	2500	0.6
Syggevatn	Norway	52	880	1990	1:1.5	1:1.5	2500	15275	0.5
Feistritzbach	Austria	88	380	1990	1:1.5	1:1.4	1600	8750	0.70/0.5
Hintermuhr	Austria	40	270	1990	1:1.17	1:1.17	320	3750	0.70/0.5
Queens Valley	Jersey, UK	29	170	1991	1:2	1:2	250	2100	0.6
Schmalwasser	Germany	76	325	1992	1:1.65	1:1.55	1400	13350	0.8
Muscat	Oman	26	110	1993	1:2.0	1:1.5	100	800	0.4
Dangteic(2)	China	74	304	1994	1:2.5	1:2	360	2140	0.5
Urar	Norway	40	151	1997	1:1.5	1:1.5	140	1500	0.5
Storegjønsvatn	Norway	128	830	1997	1:1.5	1:1.45	5200	22500	0.95-0.5
Holmvann	Norway	60	396	1997	1:1.5	1:1.50	1200	7000	0.5
Hattu	Dubai, U.A.E.	45	422	1998	1:2.0	1:1.5	1000	7600	0.6
Greater Ceres	South Africa	60	280	1998	1:1.55	1:1.50	5500	4500	0.5
Agar	Spain	30	485	1999	1:2.0	1:2.0	203	2300	0.6
Goldisthal Outer Dam	Germany	26	442	1999	1:2.0	1:3.5	200	1150	0.4
Dongtang	China	48	2000	2000	1:2.5	1:2	514	4430	0.5
Kaneqi	China	51	319	2000	1:2.5	1:2	1650	6360	0.6-0.4
Tuo Li	China	2000	2001	1:2.5-1:3	1:2-1:2.5	700	4500	0.5	
Majiangou	China	38	264	2003	1:1-1:1.3	1:1.75			
Jiayintala	China	26	160	2003	1:2.5	1:2.5	1900	10400	1.0-0.5
Yanang	China	57	407	2003	1:2.5	1:2.5	12130	48500	1.2-0.6
Mao Ping Xi	China	104	1840	2003	1:2.5	1:2.5			
Hatta (main dam)	U.A.E.	37	228	2003	1:2	1:1.8	389	4000	0.6
Hatta (saddle dam)	U.A.E.	12.5	208	2003	1:2	1:1.8	50	1000	0.6
Mora de Rubelos	Spain	34	215	2003	1:1.5	1:1.5	160	1600	0.5
Yeite	China	125	411	2003	1:2	1:1.8	6000	38700	1.2-0.6
Plovdivtsi	Bulgaria	48	225	2003	1:1.8	1:1.85	525	3350	0.6-0.5
Netkovtsi	Bulgaria	43	205	2003	1:1.65	1:1.8	320	2270	0.6-0.4
Meyeran	Iran	52	186	2003	1:1.75	1:1.6	385	6000	1.0
Ni'ejri	China	38	1829	2006	1:2.25-1:2.5	1:2-1:2.25	7200	36500	0.7-0.5
Xiabandi	China	78	406	2006	1:2.6-1:2.8	1:2.3-1:2.5	4919	22000	1.2-0.6
Aikou	China	80	217	2006	1:1.4	1:1.6	1390	11,643	1.2-0.6
Zhaobishan	China	71	121	2006	1:2.5	1:2.0			
Moglitz	Germany	43	260	2006	1:1.8	1:1.6	500	5000	0.6
Miduc	Iran	40	250	2006	1:2	1:1.8	400	4000	0.6
Köprü	Turkey	139	565	2006	1:1.6	1:1.6	10000	30000	0.9
Yademiniza	Bulgaria	110	312	2006	1:2	1:1.7	2392	15500	1.0-0.6
Bujagali	Uganda	25	900	2006	1:1.75-1:3	1:1.65-1:3	750	7200	0.5
Murwanji (main dam)	Saudi Arabia	74	200	2006	1:1.65	1:1.55	800	4300	0.5
Murwanji (saddle dam)	Saudi Arabia	102	575	2006	1:2.15	1:2.05	6400	31750	1.0-0.5
	Dominican Rep.	30	437				453		

ASPHALTIC CONCRETE CORE DAMS